

Risultati recenti ad HERA



Andrea Parenti
Università di Padova
INFN Padova



Argomenti presentati:

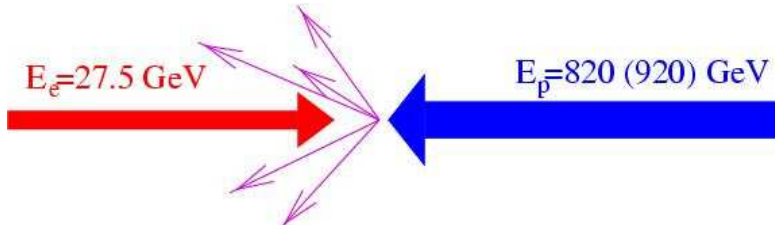
- Funzioni di struttura e PDFs
- Primi risultati con MVD di ZEUS
- Sezione d'urto con fasci polarizzati
- Leptoni isolati con P_T elevato
- Misura di α_s ad HERA
- Pentaquark

Disclaimer

- Gli argomenti presentati sono stati scelti in base alla “rilevanza” e alla attualità.
- La selezione è comunque frutto del gusto personale; molti altri risultati significativi o recenti sono stati tralasciati.

Il collider HERA

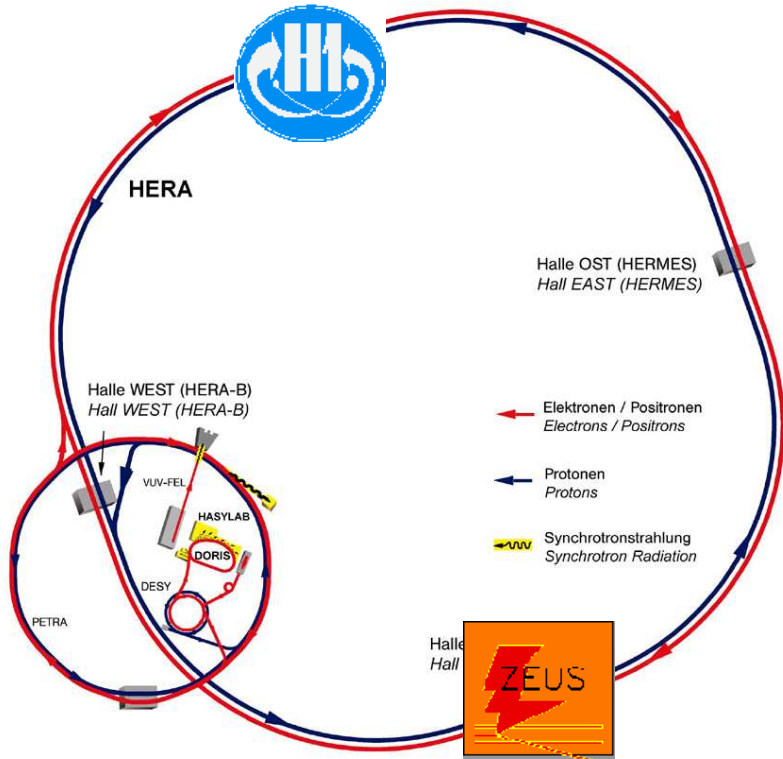
HERA è in funzione dal 1992;
è il primo e unico "collider" $e^\pm p$:



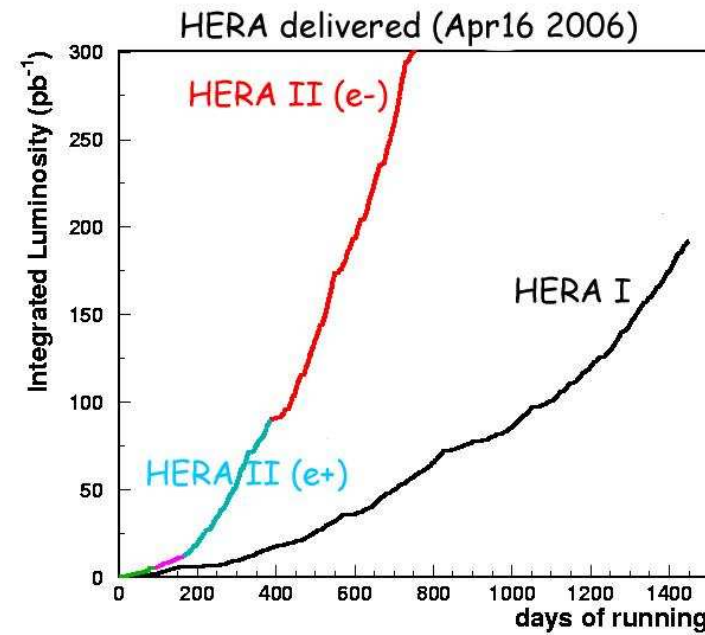
Lungo HERA sono installati gli esperimenti ZEUS e H1 (più HERMES a bersaglio fisso, HERA-B ormai rimosso).

Nello shut-down 2000-02 la luminosità istantanea è stata aumentata di 5 volte.

Dopo una partenza difficile, la presa dati finalmente procede bene ($L_{max} \approx 5E+31 \text{ cm}^{-2} \text{s}^{-1}$).



Periodo	Collisioni	\sqrt{s} (GeV)	Lumi ($\text{cm}^{-2} \text{s}^{-1}$)	HERA del.
1994-97	$e+p$	300	$1.60E+31$	72 pb-1
1998-99	$e-p$	318	$1.60E+31$	25 pb-1
1999-00	$e+p$	318	$1.60E+31$	95 pb-1
2002-04	$e+p$	318	$7.00E+31$	90 pb-1
2004-06	$e-p$	318	$7.00E+31$	246 pb-1



La diffusione elettrone-protone

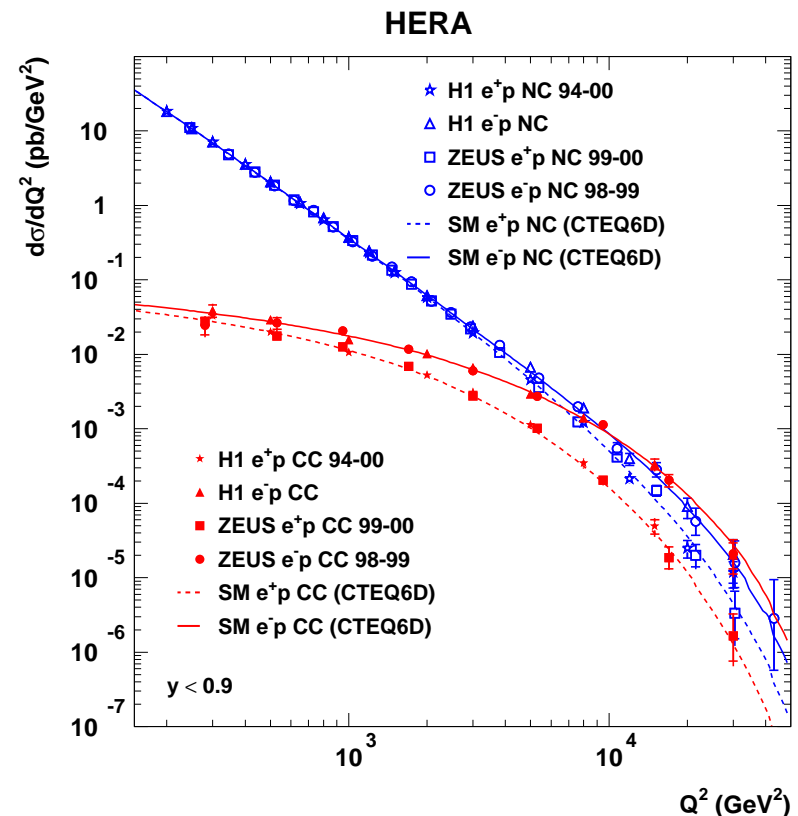
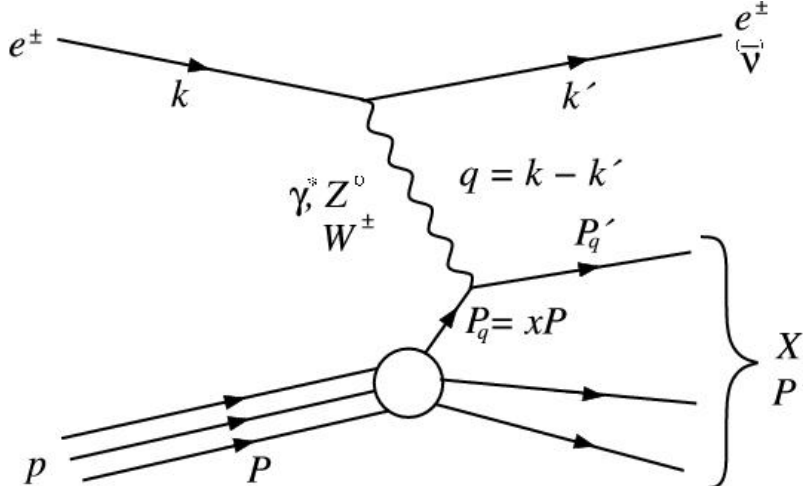
$$\frac{d^2\sigma_{e^\mp p}^{NC}}{dx dQ^2} = \frac{2\pi\alpha^2}{xQ^4} [Y_+ F_2^{NC}(x, Q^2) - y^2 F_L^{NC}(x, Q^2) \pm Y_- x F_3^{NC}(x, Q^2)]$$

$$\frac{d^2\sigma_{e^\mp p}^{CC}}{dx dQ^2} = \frac{G_F^2}{4\pi x} \left[\frac{M_W^2}{M_W^2 + Q^2} \right]^2 [Y_+ W_2^\mp(x, Q^2) - y^2 W_L^\mp(x, Q^2) \pm Y_- x W_3^\mp(x, Q^2)]$$

La sezione d'urto dipende dalle funzioni di struttura F_2 , F_L e F_3 .

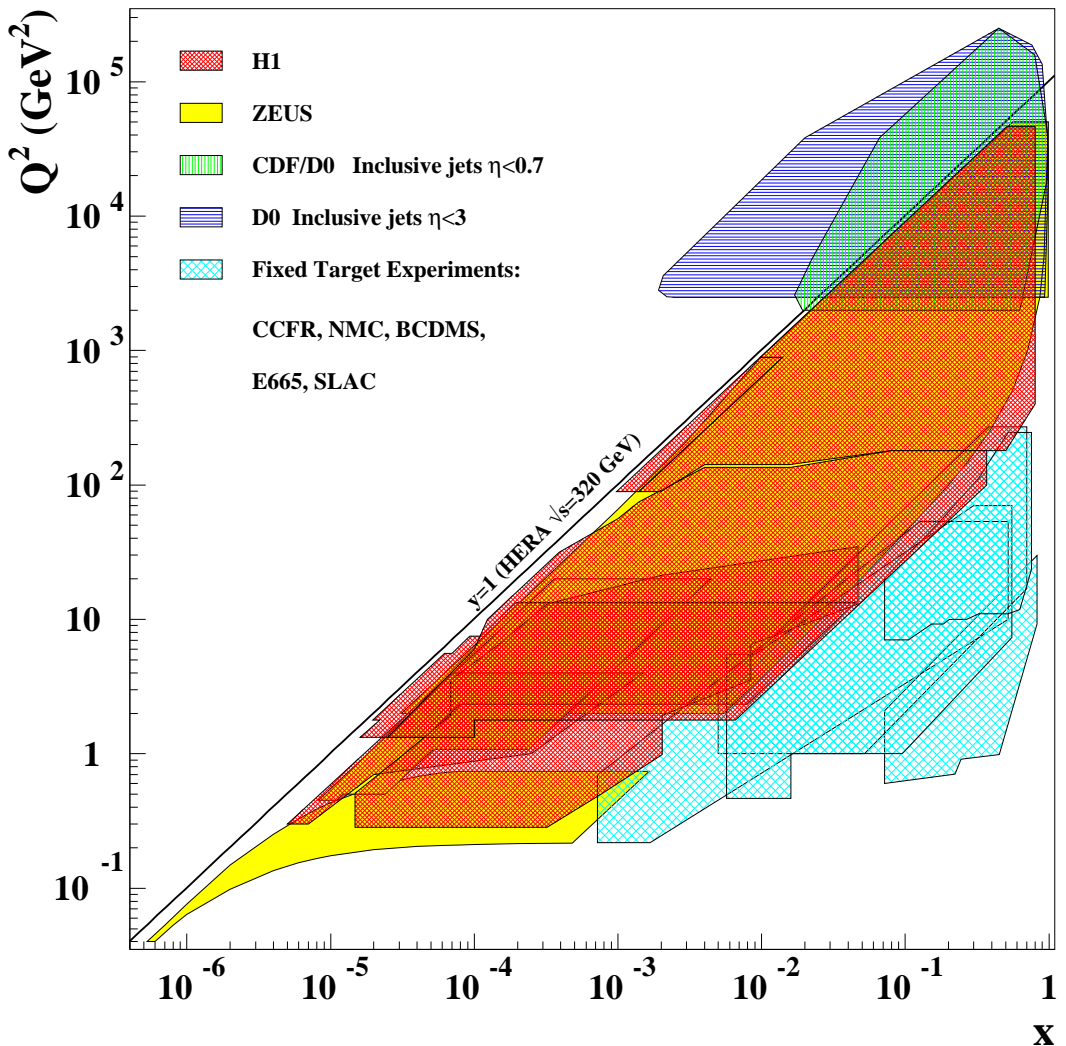
Il termine xF_3 ha segno opposto per e^+ ed e^- .

Ad alto Q^2 le sezioni d'urto di NC e CC diventano uguali ("electroweak unification").



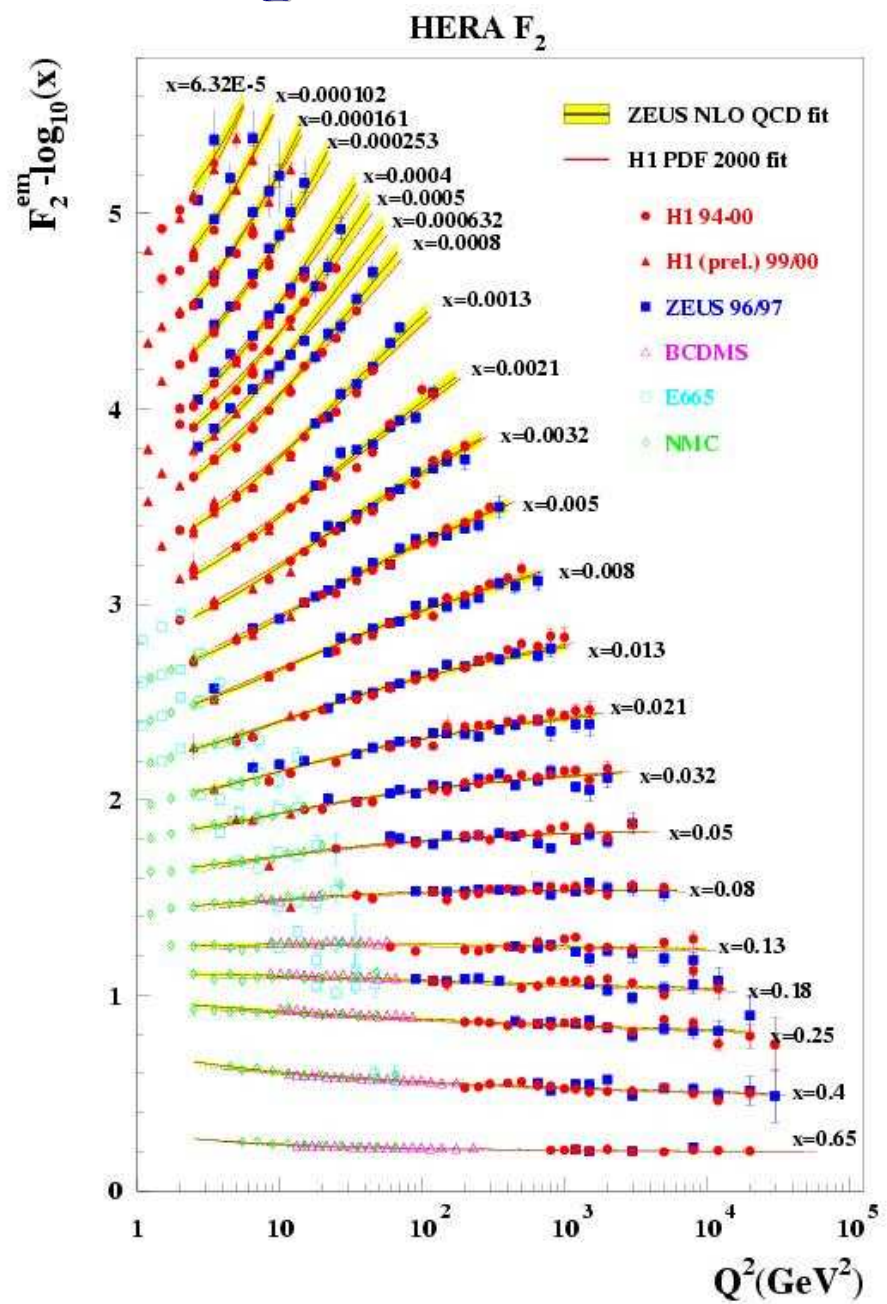
Misura di F_2

- HERA è la macchina ideale per la misura delle funzioni di struttura.
- HERA allarga in modo spettacolare la regione cinematica accessibile.



Misura di F_2

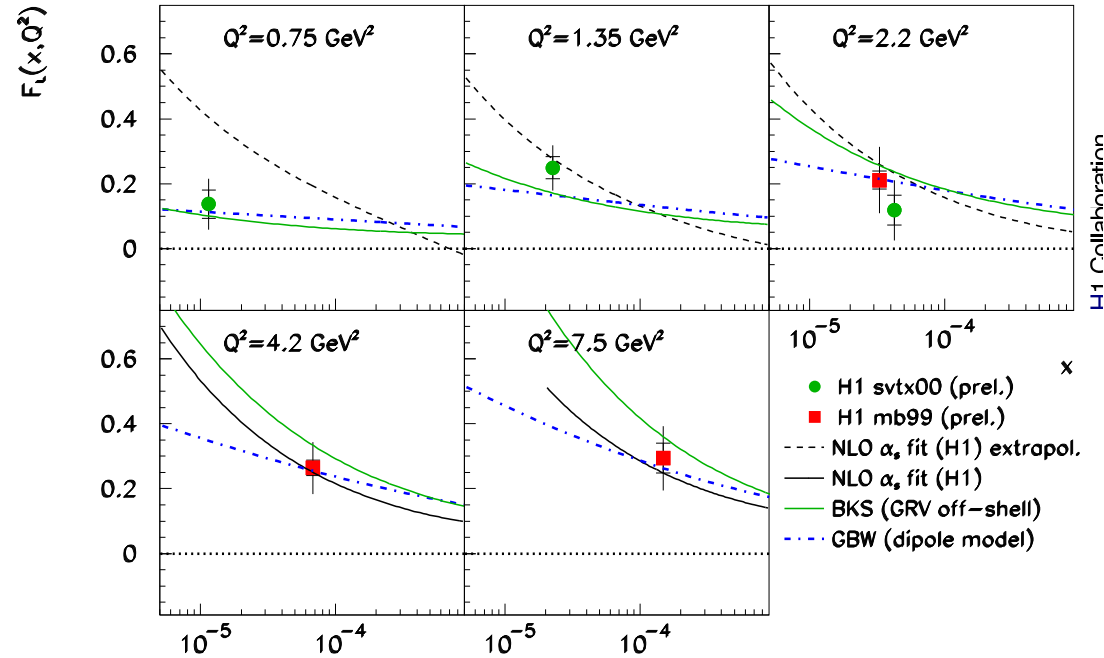
- HERA è la macchina ideale per la misura delle funzioni di struttura.
- HERA allarga in modo spettacolare la regione cinematica accessibile.
- Ad HERA si misura F_2 nella regione $6.32E-5 < x < 0.65$ e $1 < Q^2 < 30000 \text{ GeV}^2$, con una precisione del 2-3%



Misura di F_L

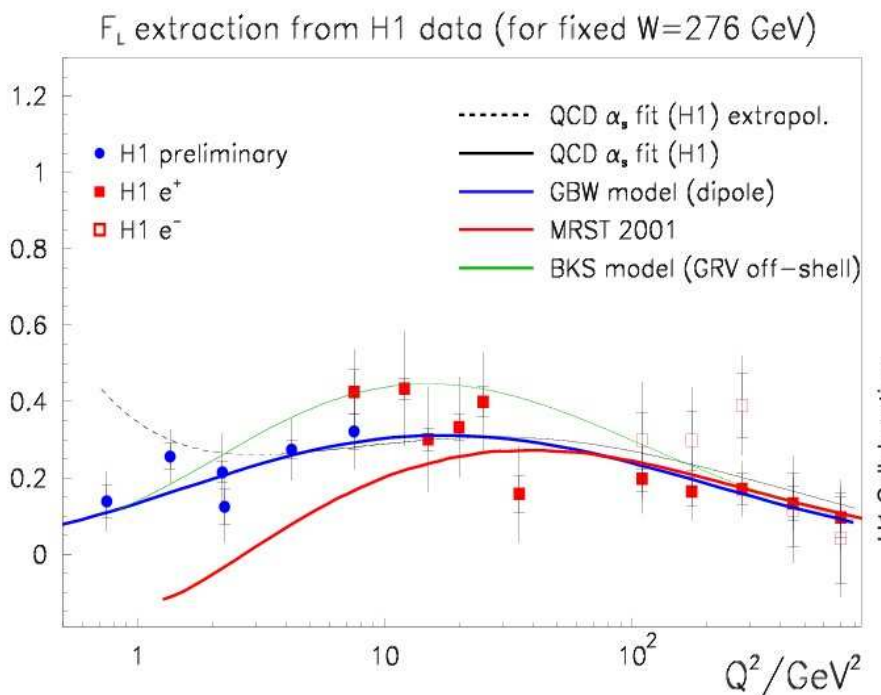
"Shape method" di H1:

- si estraе la sezione d'urto ridotta (σ_r)
- si esegue un FIT dei parametri c, λ, F_L
- run dedicati a F_L nel 1999-2000



$$\sigma_r = F_2 - \frac{y^2}{Y_+} F_L$$

$$\sigma_{\text{FIT}} = cx^{-\lambda} - \frac{y^2}{1 + (1 - y)^2} F_L$$



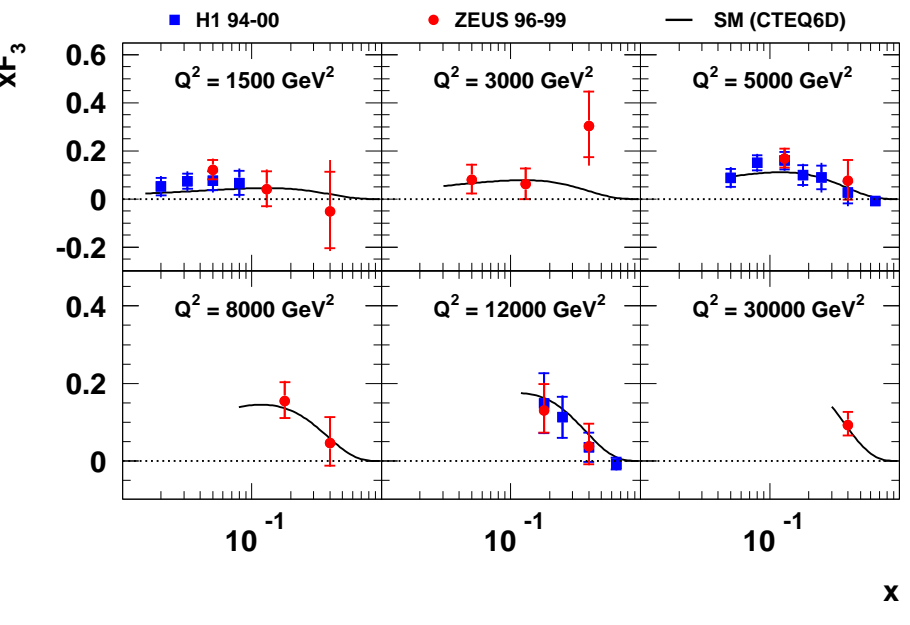
Misura di xF_3

xF_3 misurabile come differenza tra sezione d'urto di e^- ed e^+ :

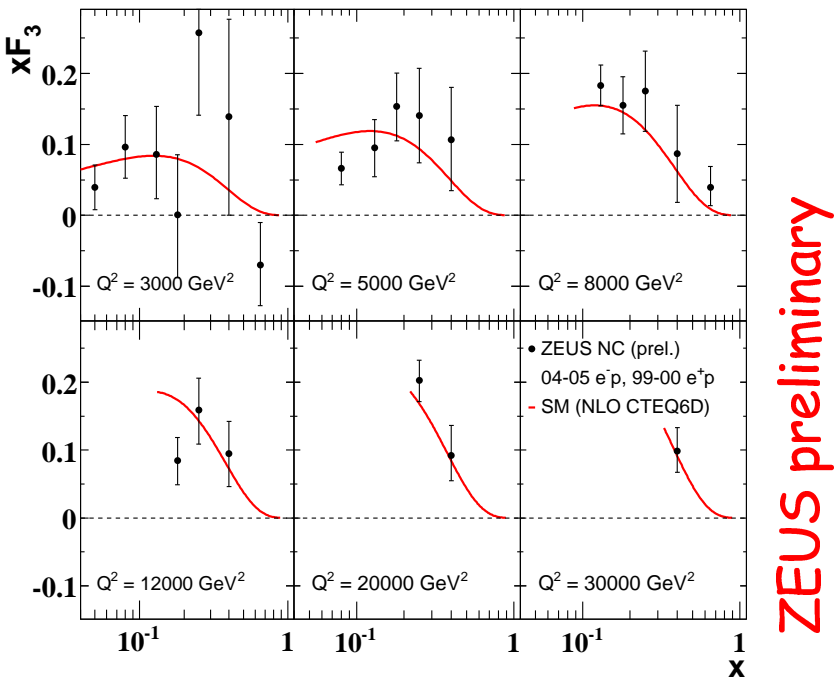
$$xF_3 = \frac{xQ^4}{4\pi\alpha^2 Y_-} \left[\frac{d^2\sigma_{e^- p}^{NC}}{dx dQ^2} - \frac{d^2\sigma_{e^+ p}^{NC}}{dx dQ^2} \right]$$

In HERA-I la statistica è limitata per gli elettroni (16.7 pb^{-1} a ZEUS); i dati di HERA-II possono migliorare molto la precisione su xF_3 .

A lato: 121 pb^{-1} di collisioni $e^- p$ raccolte nel 2004-05 



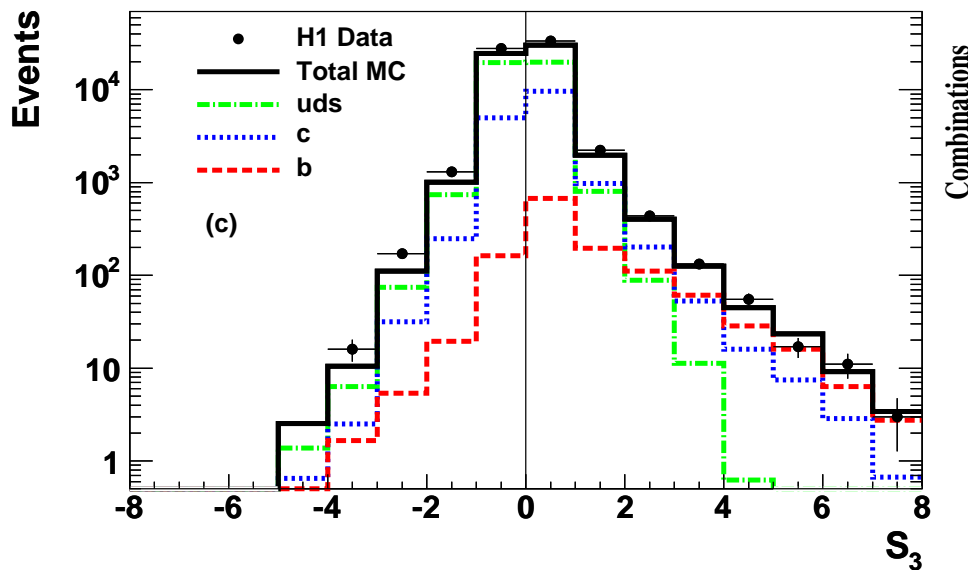
ZEUS



Misura di F_2^{cc} e F_2^{bb}

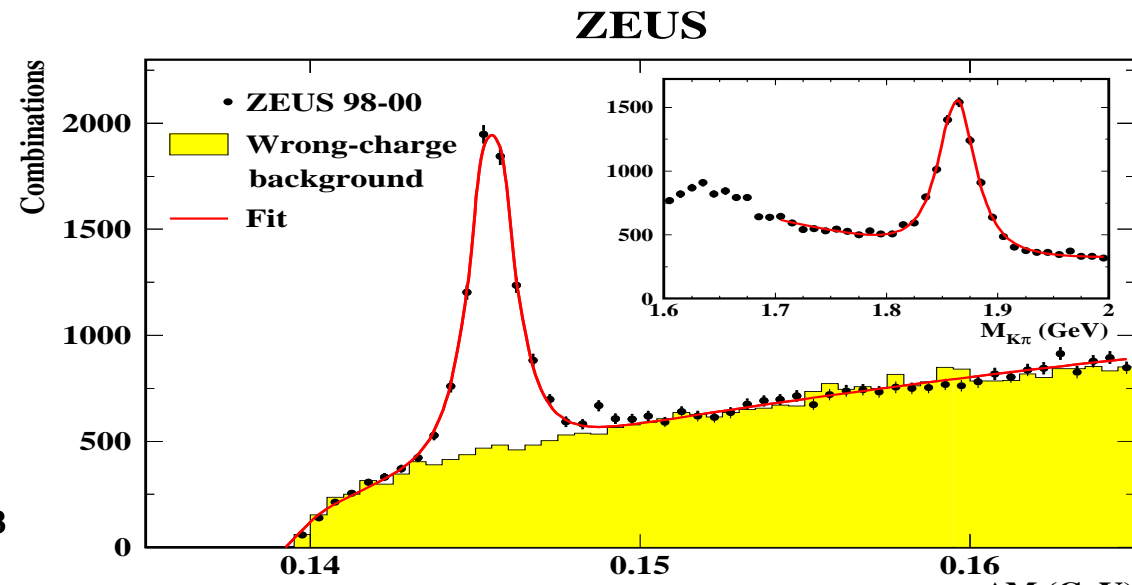
H1- significanza parametro d'impatto:

- Collisioni e^+p , 1999-00, $L=57\text{pb}^{-1}$
- Fit di S_1, S_2, S_3 (dove $S=\delta/\sigma(\delta)$) per stimare la frazione di b e c nei dati.
- Calcola la sezioni d'urto $\sigma(cc)$ e $\sigma(bb)$.
- Dalla σ si estrae F_2 , sottraendo F_L valutato dalla QCD



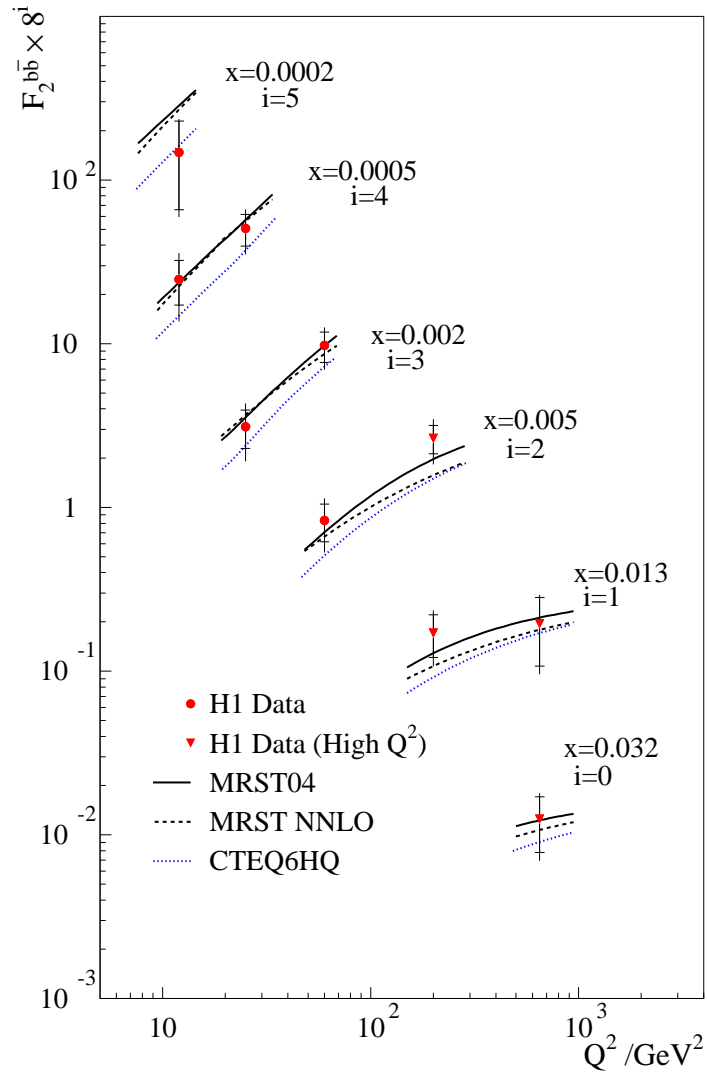
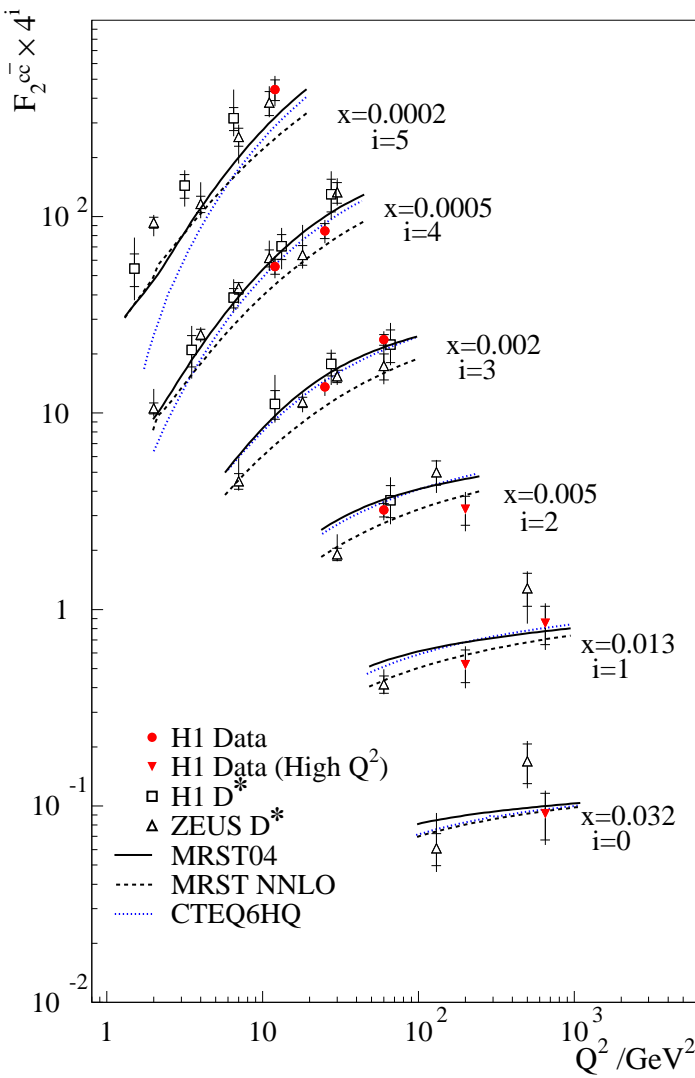
ZEUS- ricostruzione della D^* :

- Collisioni e^+p , 1998-00, $L=82\text{pb}^{-1}$
- ZEUS non aveva rivelatore di vertice in HERA-I
- Il charm è identificato dai decadimenti $D^* \rightarrow D^0\pi_s$, $D^0 \rightarrow K\pi$
- F_2^{bb} non è ancora misurata da ZEUS



Misura di F_2^{cc} e F_2^{bb}

- Le misure dei due esperimenti sono in accordo, e sono descritte dalla pQCD.
- Questa è la prima misura di F_2^{bb} .
- In HERA-II anche ZEUS ha il rivelatore di vertice: potrà misurare F_2^{bb} .

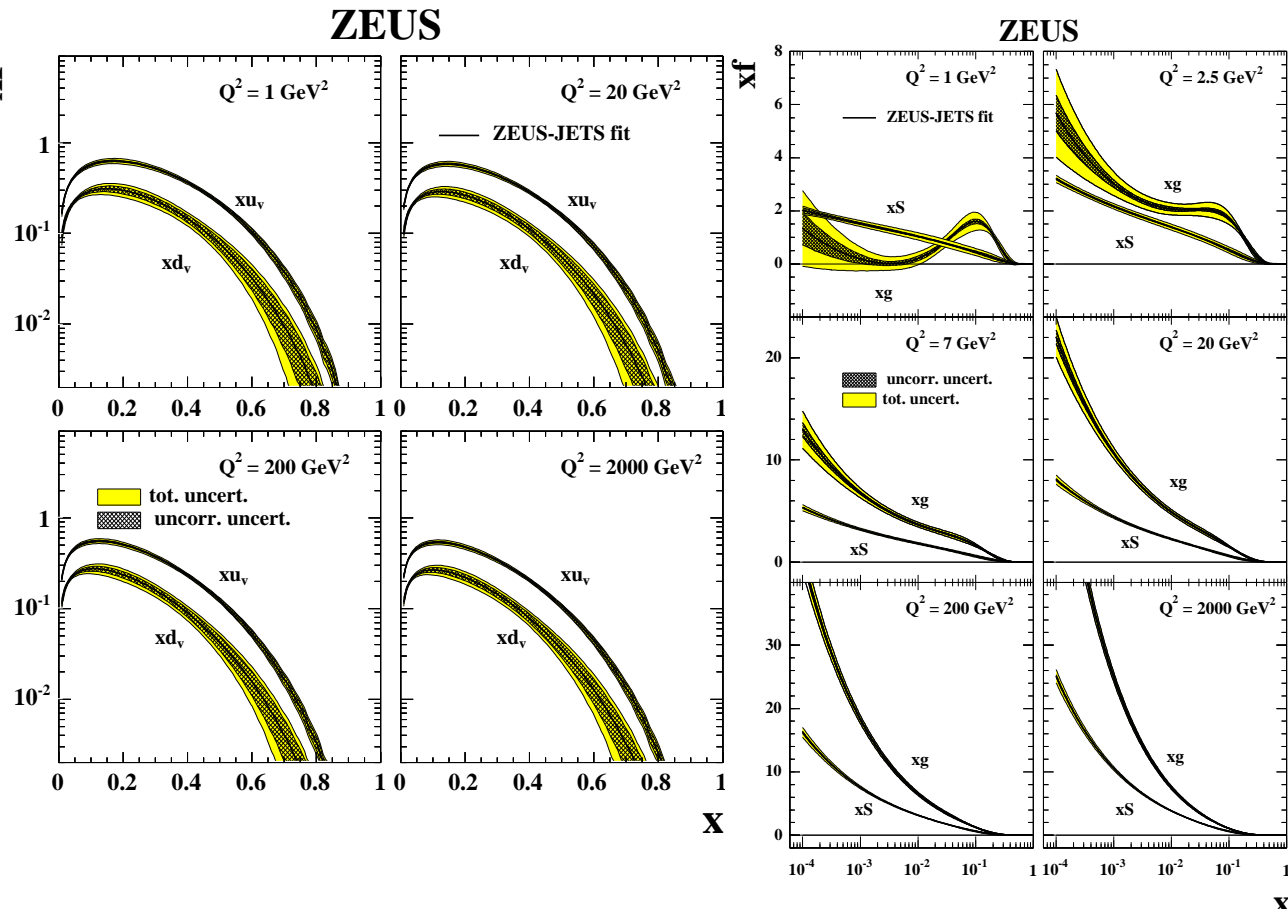


PDF del protone

- Le funzioni di struttura contengono al loro interno le PDF del protone \Rightarrow dai dati si estraggono le PDF
- ZEUS ha estratto le PDF dalle sezioni d'urto di NC, CC, produzione di jet in collisioni e^+p , prod. di dijet in collisioni γp (dati di HERA I), coi soli dati di ZEUS
- Le PDF di xu_v , xd_v , xS , xg sono parametrizzate a $Q_0^2 = 7 \text{ GeV}^2$ da:

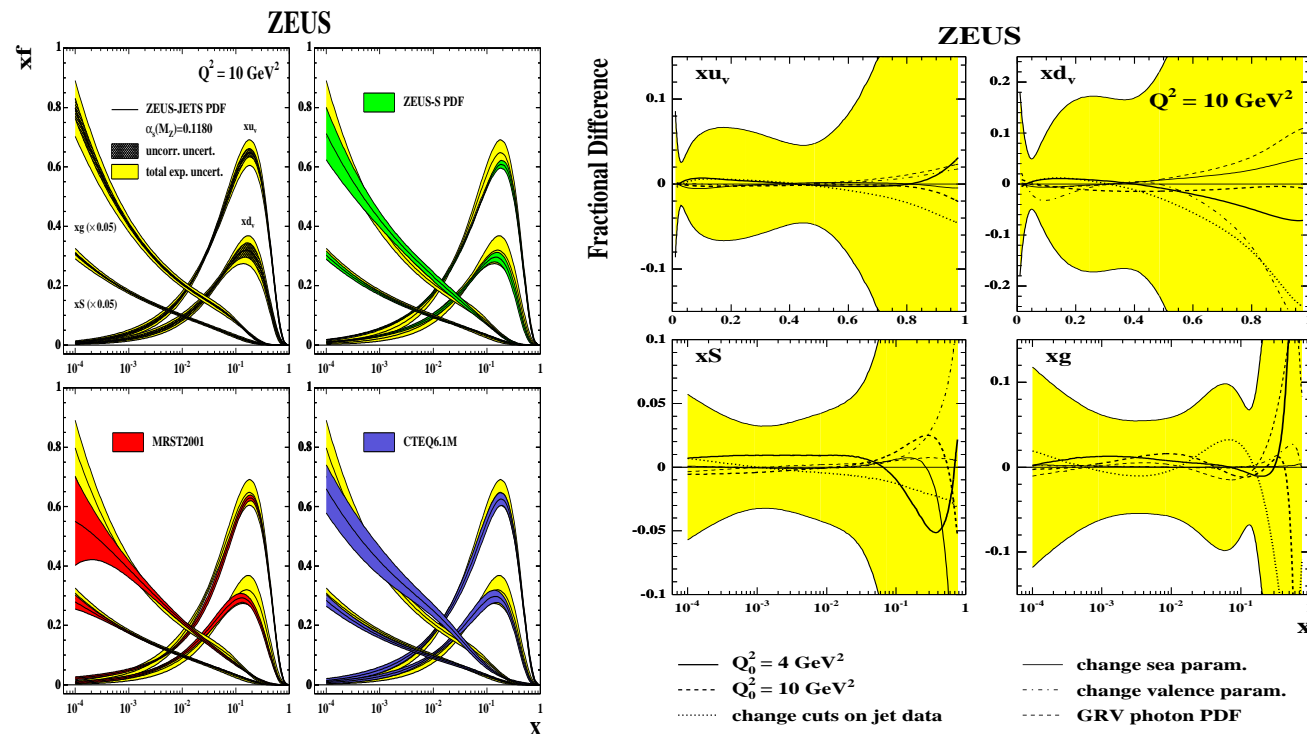
$$xf(x) = p_1 x^{p_2} (1-x)^{p_3} (1+p_4 x)$$

- L'evoluz. in Q^2 è fatta nel formalismo DGLAP al NLO



PDF del protone

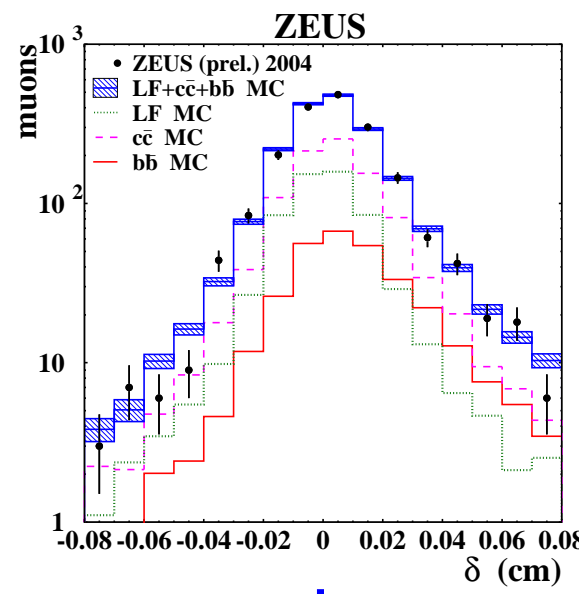
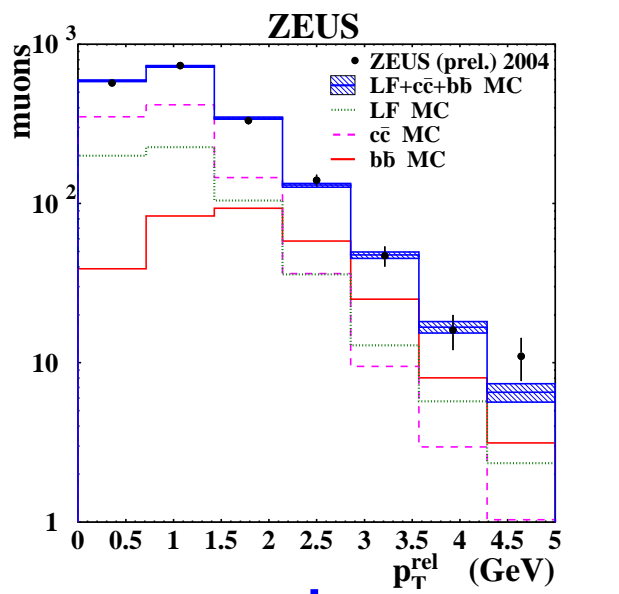
- Le funzioni di struttura contengono al loro interno le PDF del protone \Rightarrow dai dati si estaggono le PDF
 - ZEUS ha estratto le PDF dalle sezioni d'urto di NC, CC, produzioni di jet in collisioni e^+p , prod. di dijet in collisioni γp (dati di HERA I), coi soli dati di ZEUS
 - Le PDF di xu_v , xd_v , xS , xg sono parametrizzate a $Q_0^2 = 7 \text{ GeV}^2$ da:
- $$xf(x) = p_1 x^{p_2} (1-x)^{p_3} (1+p_4 x)$$
- L'evoluz. in Q^2 è fatta nel formalismo DGLAP al NLO
 - I risultati sono già competitivi con MRST/CTEQ
 - ZEUS: precisione dominata dalla statistica. Nei fit globali dominano le sistemat.



Fotoproduzione di beauty a HERA II

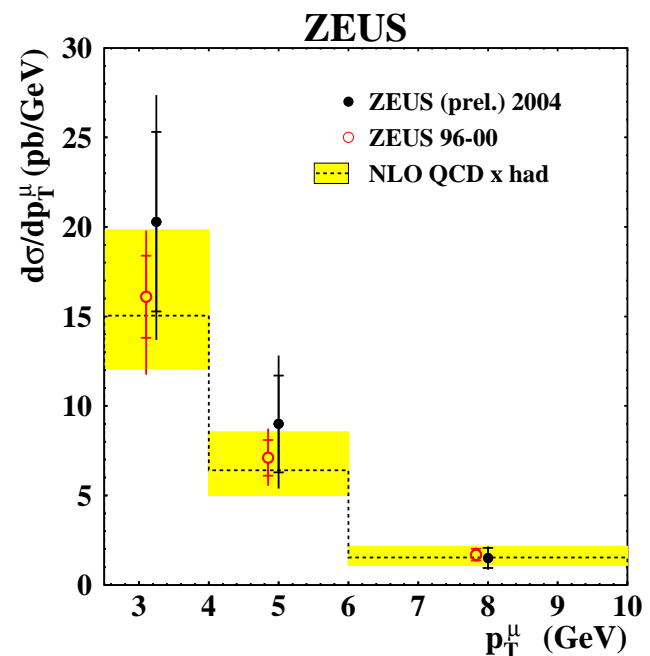
Nello shut-down del 2000 ZEUS ha installato un nuovo rivelatore di vertice (MVD).
E' la prima misura con l'MVD di ZEUS.

- Selezione: 2 jet e 1 muone.
- In HERA-I ($L=110\text{pb}^{-1}$): fraz. di beauty dal fit del p_T^{rel} del μ .
- In HERA-II (e^+p , $L=33\text{pb}^{-1}$): frazione di beauty dal fit simultaneo di δ e p_T^{rel} del μ .



$$p_T^{\text{rel}} = \frac{|\mathbf{p}^\mu \times (\mathbf{p}^{\text{jet}} - \mathbf{p}^\mu)|}{|\mathbf{p}^{\text{jet}} - \mathbf{p}^\mu|}$$

δ = parametro d'impatto con segno



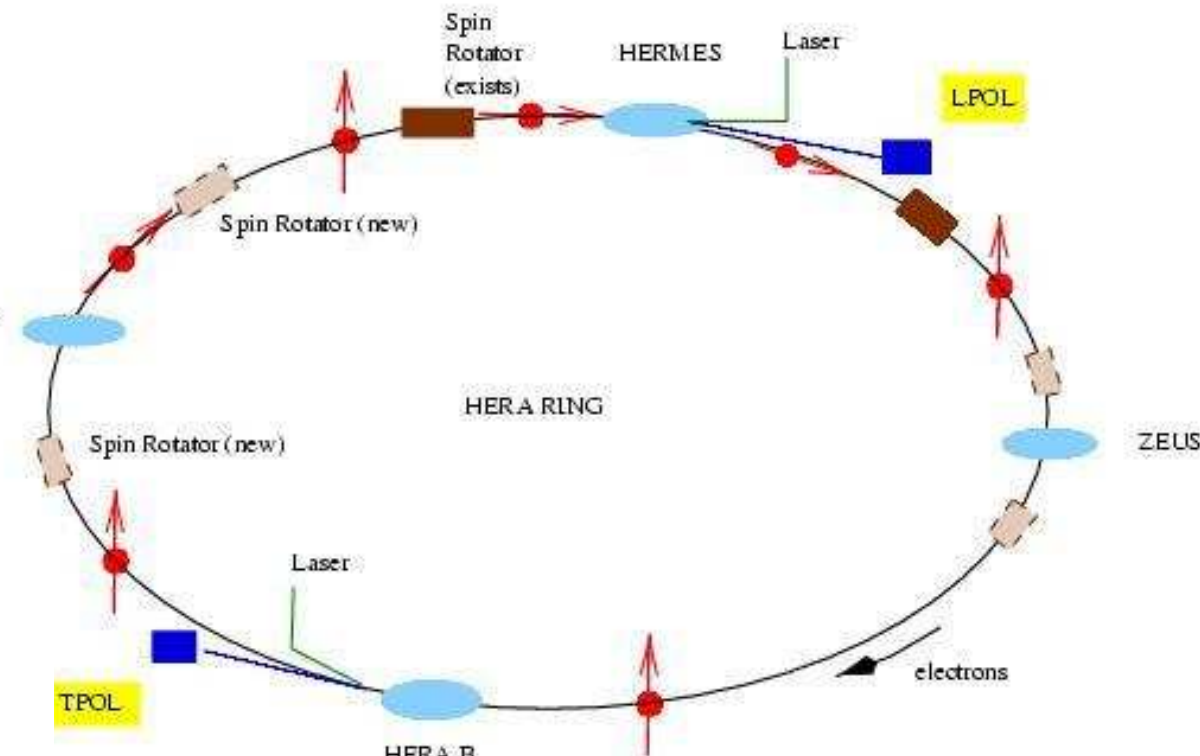
Sezione d'urto con e^\pm polarizzati

- Gli elettroni quando emettono radiazione di sincrotrone si polarizzano trasversalmente.
- Dal 2003 "spin rotators" trasformano la polarizzazione in longitudinale.
- La sezione d'urto dipende dalla polarizzazione media (P_e) del fascio.

$$P_e = \frac{N_R - N_L}{N_R + N_L}$$

$$\sigma_{e^\pm p}^{NC} = \sigma_{e^\pm p}^{NC, \text{ unpol}} + P_e \sigma_{e^\pm p}^{NC, \text{ pol}}$$

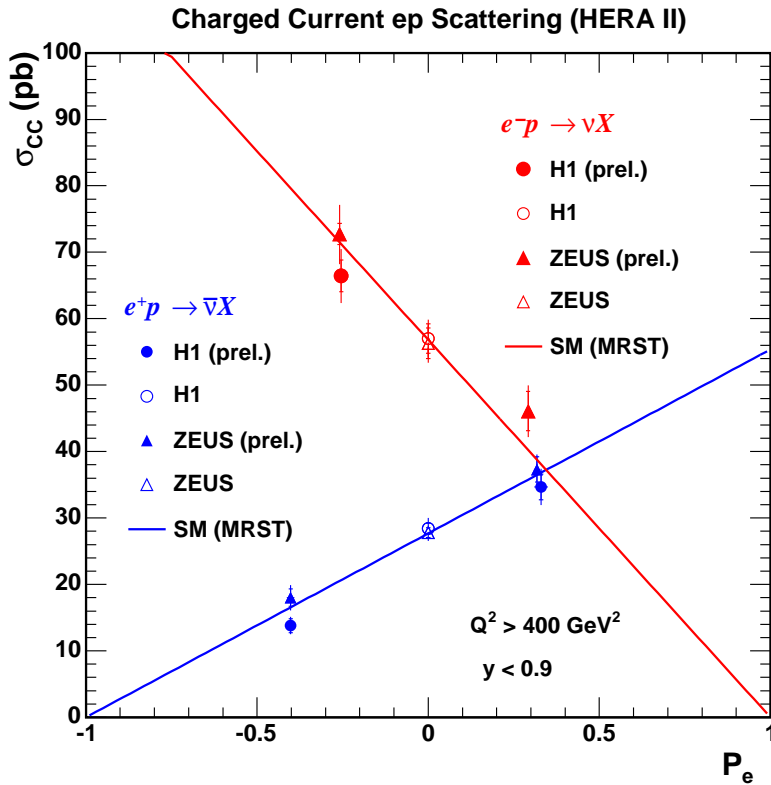
$$\sigma_{e^\pm p}^{CC} = (1 \pm P_e) \sigma_{e^\pm p, \text{ unpol}}^{CC}$$



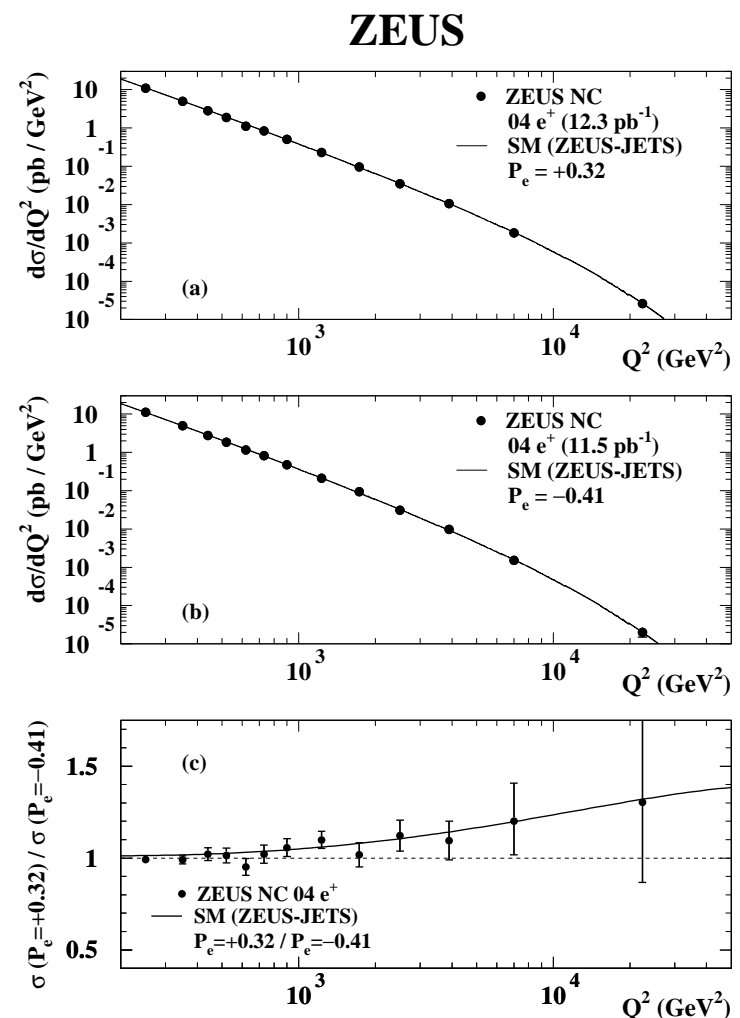
Sezione d'urto con e^+ polarizzati

- ZEUS 2003-05, $L=30.5\text{ pb}^{-1}$ (e^+p), 41.7 pb^{-1} (e^-p)
- H1 2003-04, $L=47.6\text{ pb}^{-1}$ (e^+p)

Sezione d'urto di corrente carica:



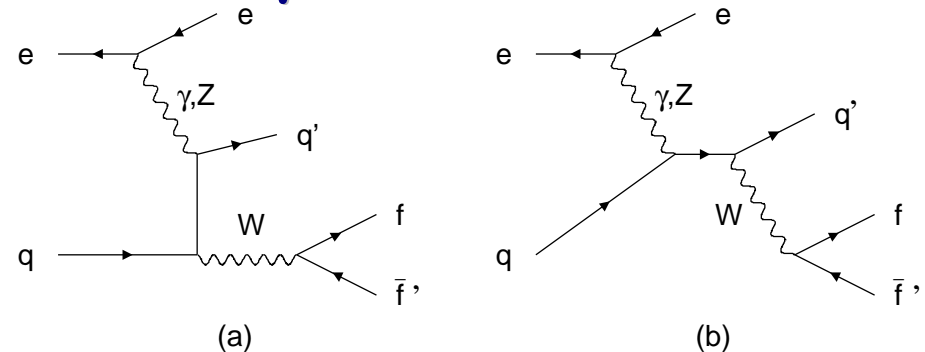
Sezione d'urto di corrente neutra (e^+p):



- Le misure sono in accordo con lo SM
- I due esperimenti sono in accordo per la CC (H1 non ha ancora misurato la NC)

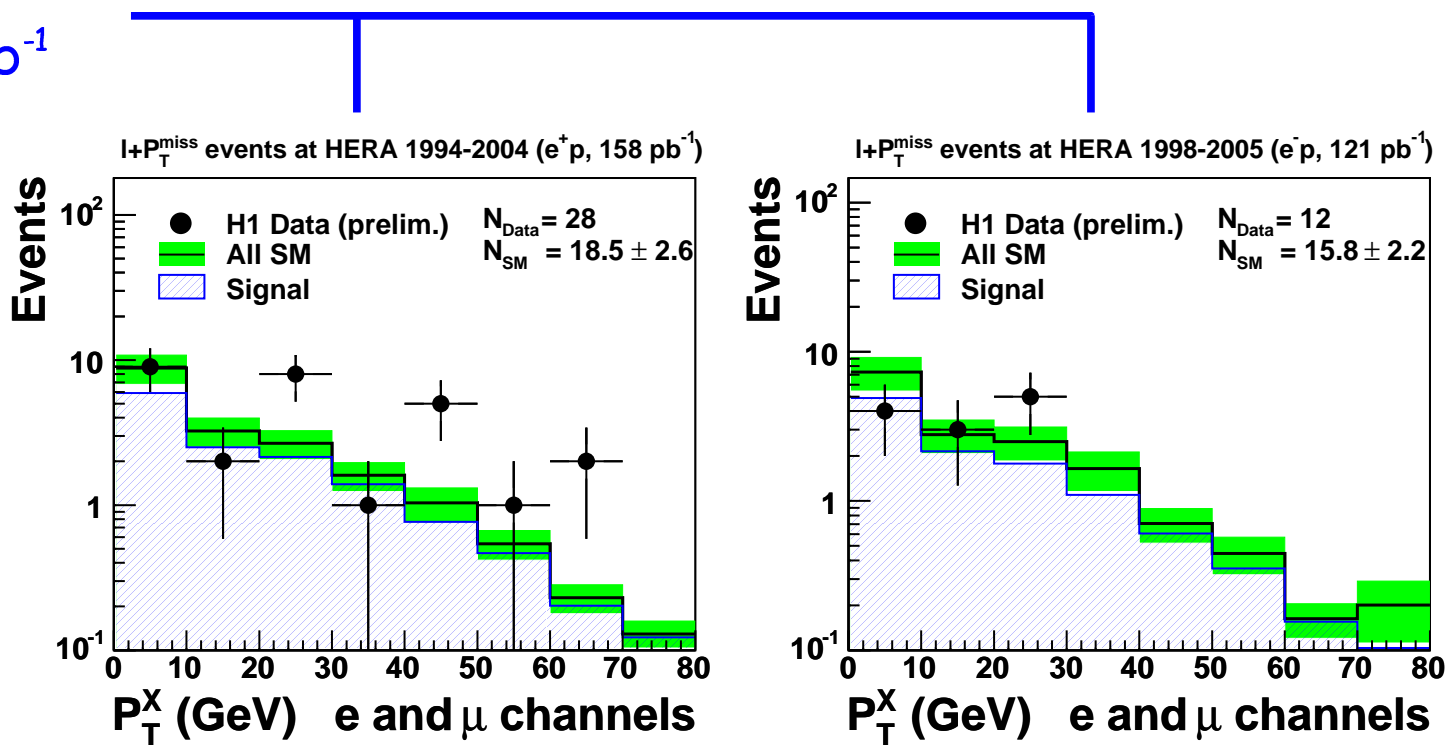
Leptoni isolati con P_T elevato

La produzione di e/μ isolati ad alto P_T , con P_T^X adronico (P_T^X) e P_T mancante è dominata dalla produzione di W singola 



- H1 1994-05, $L=279\text{ pb}^{-1}$
- ZEUS 1999-04, $L=106\text{ pb}^{-1}$

- Eccesso per H1 nelle collisioni e^+p ma non nelle e^-p .
- ZEUS non conferma l'eccesso di H1.
- L'eccesso non è al momento compreso.



Misura di α_s ad HERA

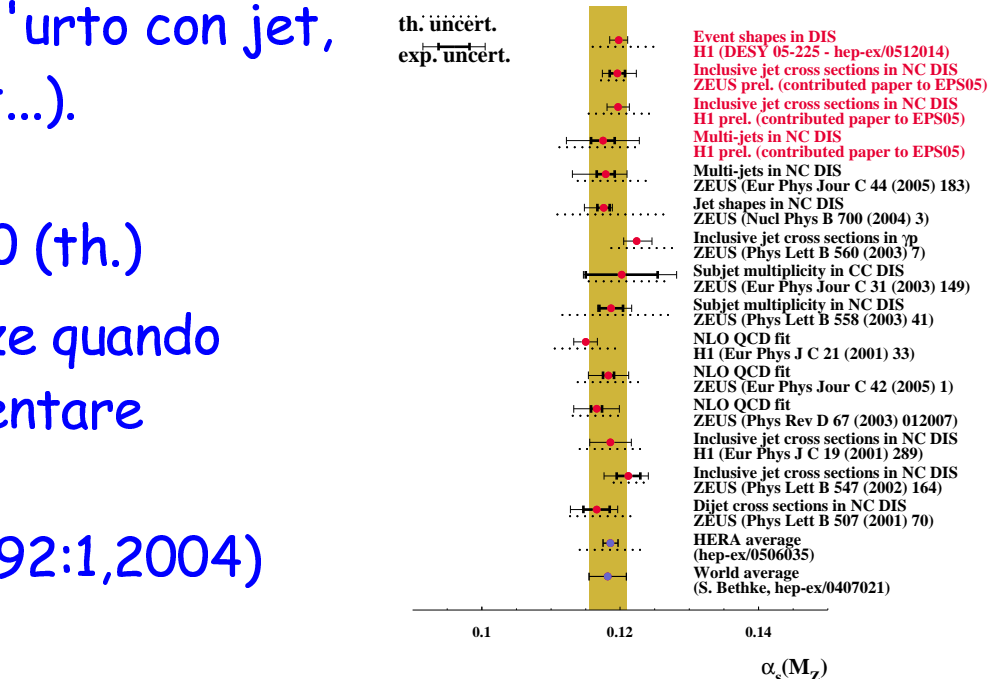
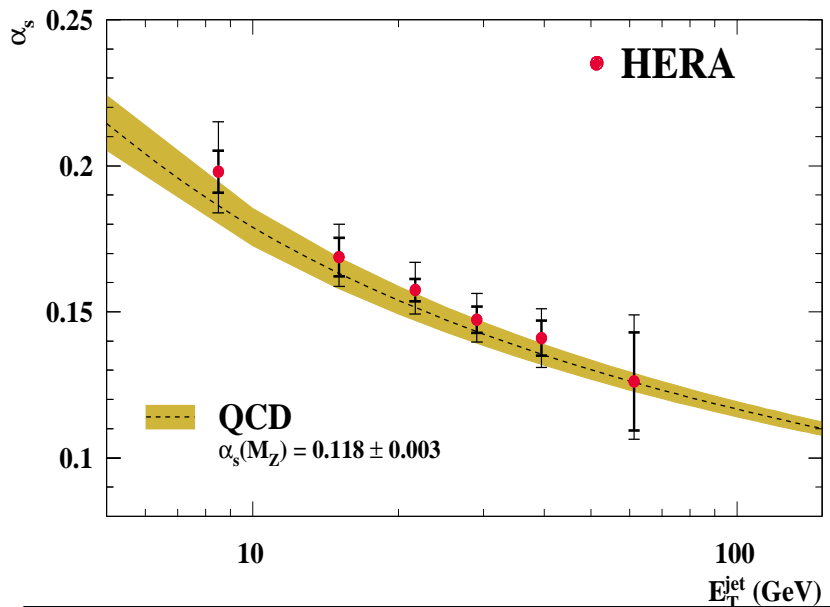
- Tutti i processi di QCD dipendono da $\alpha_s \Rightarrow \alpha_s$ si può estrarre da molte osservabili (sezione d'urto con jet, "shape" degli eventi, molteplicità dei jet...).

- La migliore stima di HERA è:

$$\alpha_s(M_Z) = 0.1186 \pm 0.0011 \text{ (exp.)} \pm 0.0050 \text{ (th.)}$$

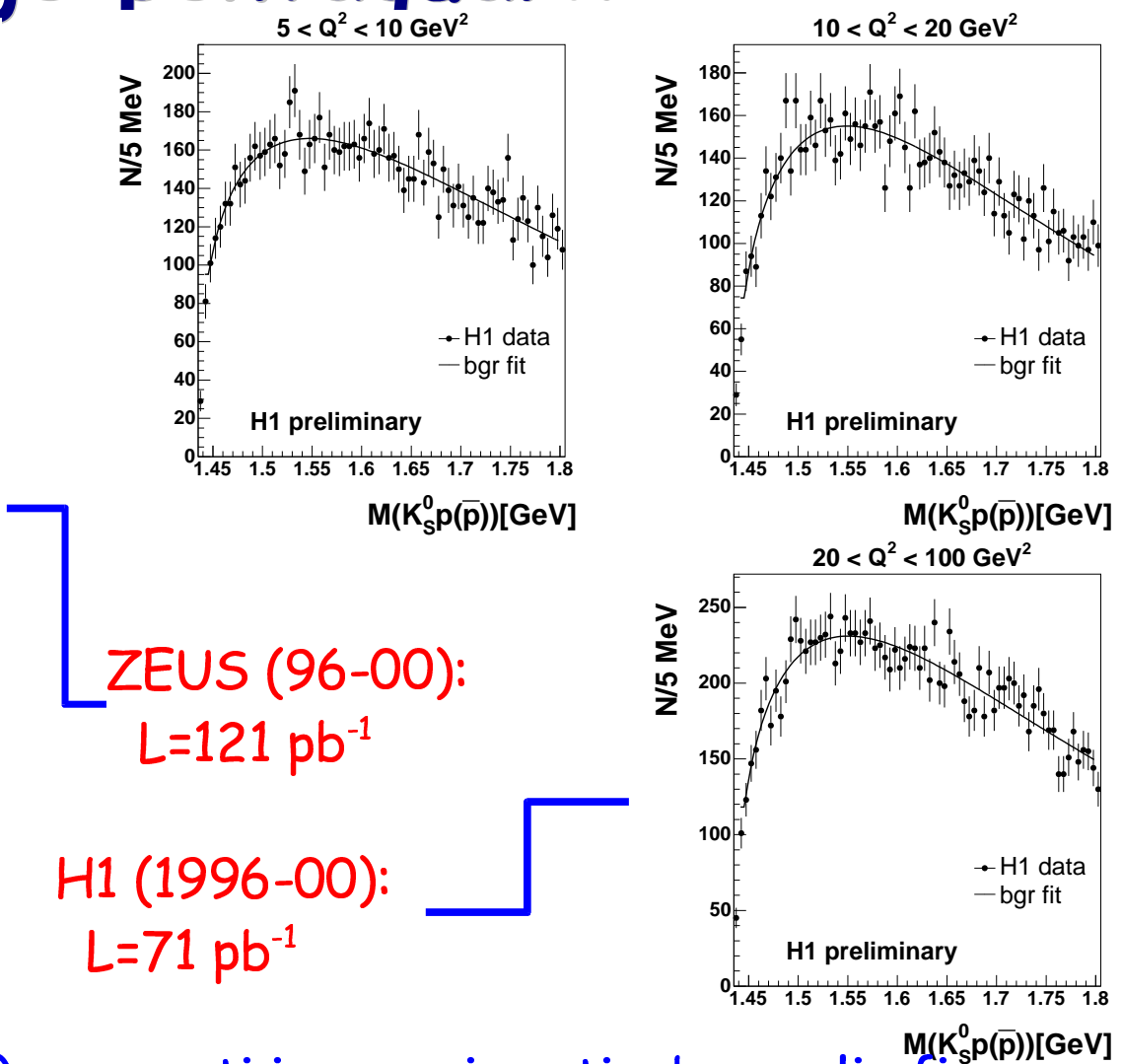
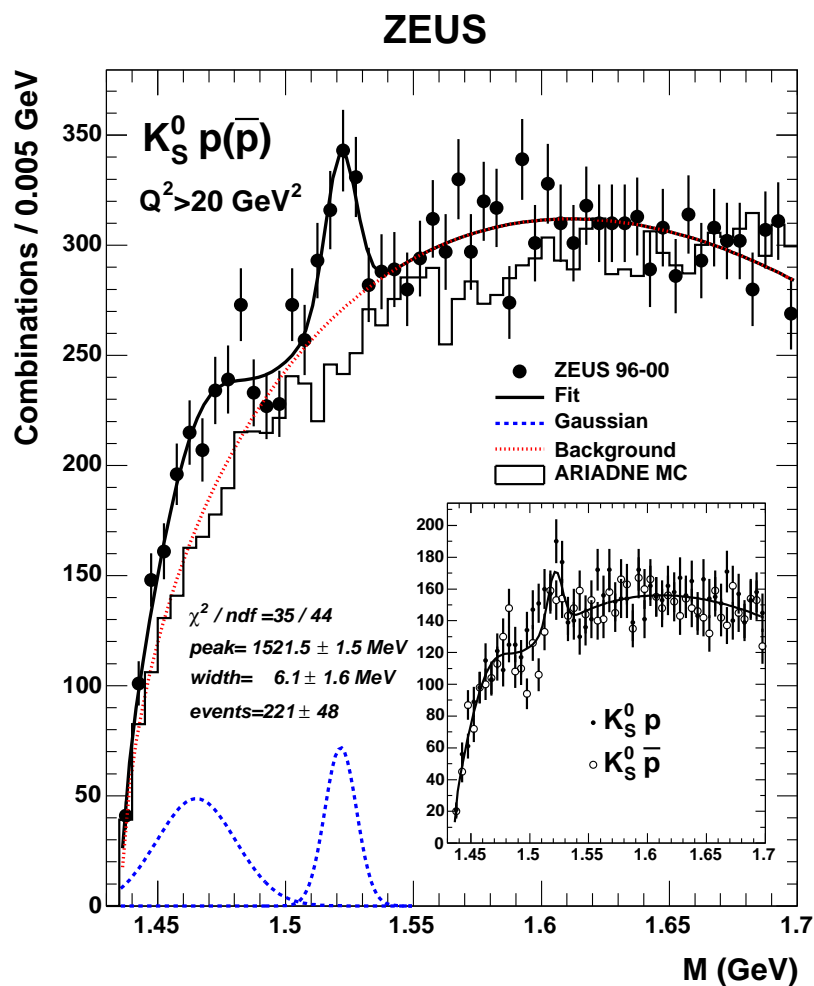
- E' attesa una riduzione delle incertezze quando NNLO sarà disponibile \Rightarrow HERA può diventare importante per la media mondiale:

$$\alpha_s(M_Z) = 0.1176 \pm 0.002 \text{ (Phys.Lett.B592:1,2004)}$$



Ad HERA si è misurato $\alpha_s(E_T^{\text{jet}})$ dalle sezioni d'urto a diversi E_T^{jet} ; l'andamento è in accordo con la pQCD.

Strange pentaquark



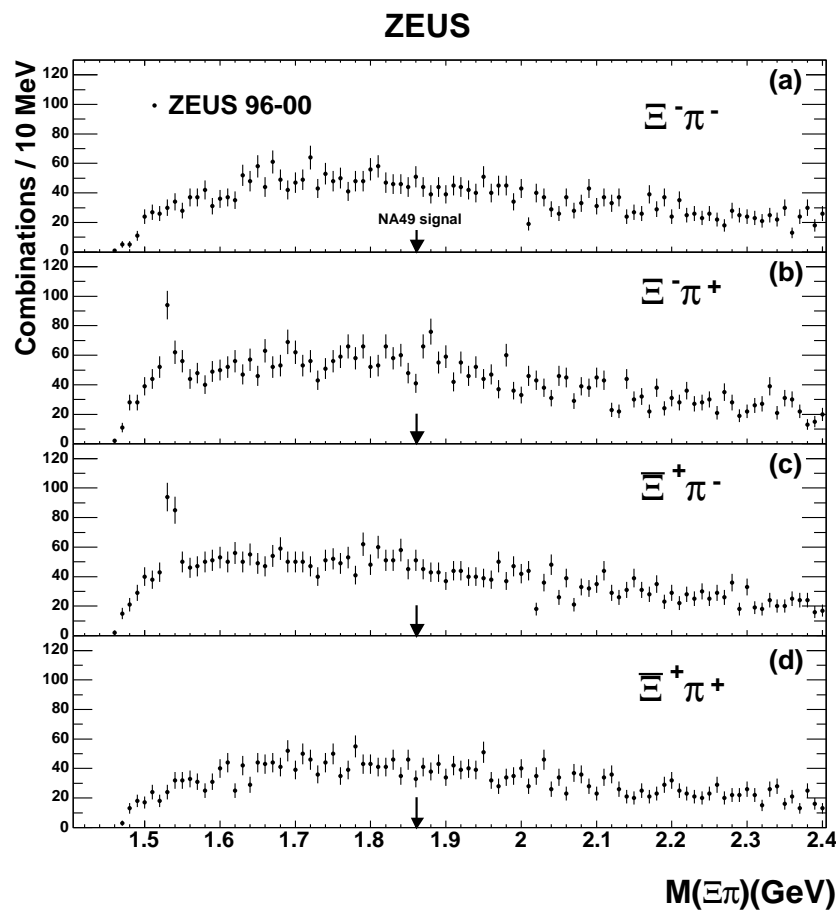
ZEUS (96-00):
 $L = 121 \text{ pb}^{-1}$

H1 (1996-00):
 $L = 71 \text{ pb}^{-1}$

- Barioni con stranezza ($\Theta^+ = uudd\bar{s}$?) osservati in esperimenti a bersaglio fisso
- ZEUS osserva un picco ($N_s = 221 \pm 48$) a $M(K_s^0 p) = 1522 \pm 6 \text{ MeV}$
- H1 non vede alcuna risonanza...

\bar{u}/\bar{d} pentaquark

ZEUS (96-00): $L=121 \text{ pb}^{-1}$



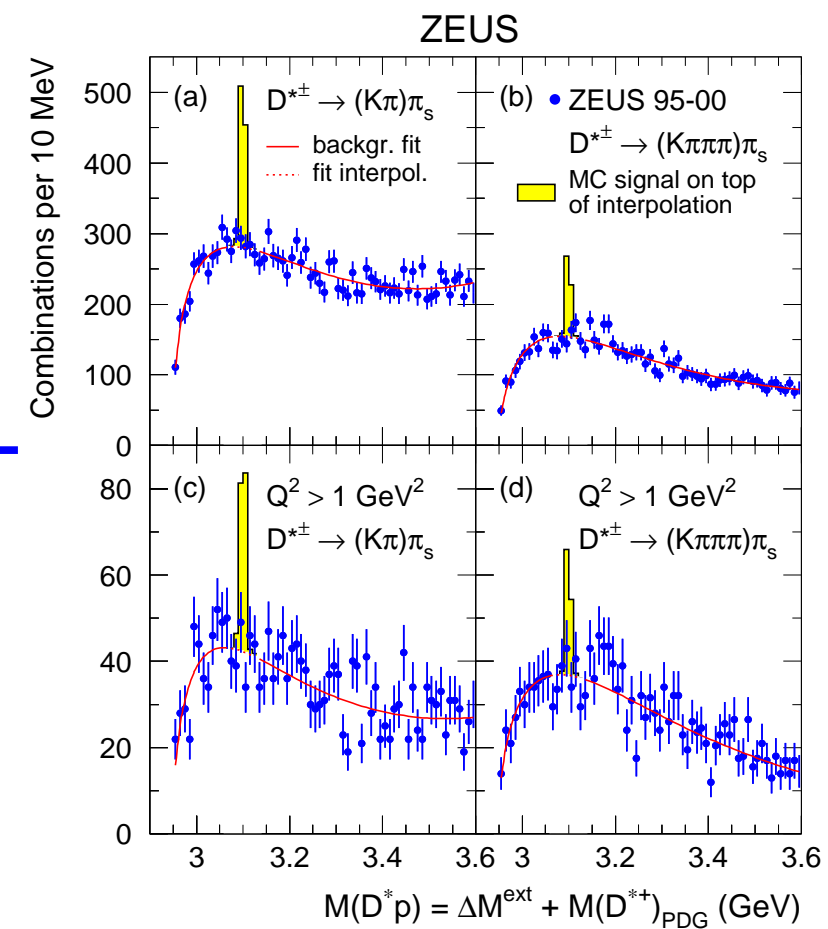
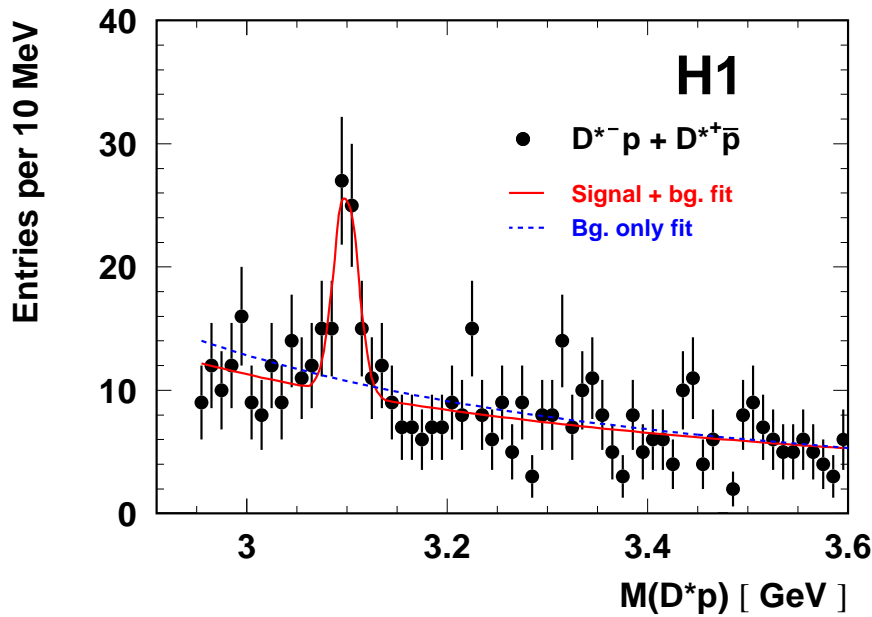
- Θ^+ appartiene a ipotetico decupletto di pentaquark, con altri stati esotici: $\Xi_{-3/2}^-$ ($ddss\bar{u}$), $\Xi_{-3/2}^+$ ($uu\bar{s}s\bar{d}$)
- NA49 al CERN ha osservato le $\Xi_{-3/2}^-$ e $\Xi_{-3/2}^+$ nei decadimenti $\Xi\pi$, $M(\Xi\pi)=1862 \pm 18$ MeV
- ZEUS non osserva alcun segnale.

Charmed pentaquark

Lo stato Θ_c^0 (uudd \bar{c}) decade in $\Theta^+\pi^-$, D^-p , $D^{*-}p$ (a seconda della massa).

ZEUS (95-00): $L=127 \text{ pb}^{-1}$:

H1 (1996-00): $L=75 \text{ pb}^{-1}$:



- H1 osserva un picco ($N_s = 50.6 \pm 11.2$) a $M(D^*p) = 3099 \pm 3 \pm 5 \text{ MeV}$
- ZEUS non vede alcuna risonanza...

Conclusioni

- Funzioni di struttura / PDF del protone: HERA dà un contributo fondamentale alla loro misura.
- Primi risultati di ZEUS con MVD: beauty in PHP.
- Prime sezioni d'urto con elettroni polarizzati: accordo ZEUS-H1 con SM.
- Leptoni isolati a PT elevato: eccesso nelle collisioni e^+p in H1, accordo con SM altrimenti. Eccesso non compreso.
- Misura di α_s ad HERA: incertezza dominata dalla teoria, attendiamo NNLO.
- Pentaquark: le risonanze osservate da un esperimento non sono confermate dall'altro.

Trasparenze addizionali

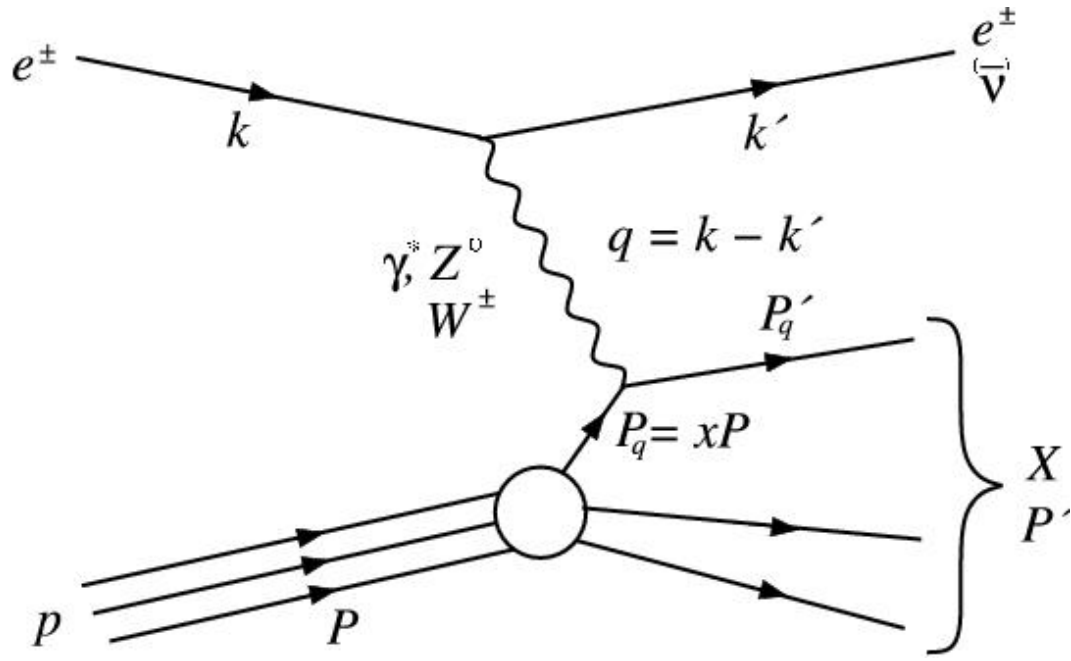
Referenze

- Funzioni di struttura:
 - Moriond EW04: hep-ex/0406036
 - DIS03: hep-ph/0311180
- PDF del protone: Eur.Phys.J.C42:1-16,2005
- F_2 charm, F_2 beauty:
 - Eur.Phys.J.C45:23-33,2006
 - Eur.Phys.J.C40:349-359,2005
 - Phys.Rev.D69:012004,2004
- Beauty a ZEUS con l'MVD: EPS05 abstract 359
- Sezione d'urto con e^\pm polarizzati
 - hep-ex/0602026

Referenze

- Phys.Lett.B634:173-179,2006
- Leptoni isolati con P_T elevato:
 - EPS2005 abstract 637 e 327
 - H1prelim-05-164_PRC_Nov05
- α_s ad HERA: hep-ex/0506035
- Pentaquark:
 - Eur.Phys.J.C38:29-41,2004
 - Phys.Lett.B610:212-224,2005
 - Phys.Lett.B591:7-22,2004
 - EPS2005 abstract 400
 - Phys.Lett.B588:17,2004

La cinematica di HERA



$$s = (P + k)^2$$

$$Q^2 = -q^2 = -(k - k')^2$$

$$x = \frac{Q^2}{2P \cdot q}$$

$$y = \frac{P \cdot q}{P \cdot k} \simeq \frac{Q^2}{sx}$$

$$W^2 = (P + q)^2 \simeq Q^2 \frac{1-x}{x}$$

$$Y_\pm = 1 \pm (1-y)^2$$

$$\frac{d^2\sigma_{e^\mp p}^{NC}}{dx dQ^2} = \frac{2\pi\alpha^2}{xQ^4} [Y_+ F_2^{NC}(x, Q^2) - y^2 F_L^{NC}(x, Q^2) \pm Y_- x F_3^{NC}(x, Q^2)]$$

$$\frac{d^2\sigma_{e^\mp p}^{CC}}{dx dQ^2} = \frac{G_F^2}{4\pi x} \left[\frac{M_W^2}{M_W^2 + Q^2} \right]^2 [Y_+ W_2^\mp(x, Q^2) - y^2 W_L^\mp(x, Q^2) \pm Y_- x W_3^\mp(x, Q^2)]$$

Le funzioni di struttura

Corrente neutra:

$$F_2(x, Q^2) = \sum_i e_i^2 x q_i(x)$$
$$F_1(x, Q^2) = \frac{1}{2x} F_2(x, Q^2)$$

} (No Z^0 , no gluoni)

Corrente carica:

$$W_2^+(x, Q^2) = x (\bar{u}(x, Q^2) + \bar{c}(x, Q^2) + d(x, Q^2) + s(x, Q^2))$$

$$x W_3^+(x, Q^2) = x (-\bar{u}(x, Q^2) - \bar{c}(x, Q^2) + d(x, Q^2) + s(x, Q^2))$$

Le funzioni di struttura

Corrente neutra:

$$F_1(x, Q^2) = \frac{1}{2x} F_2(x, Q^2)$$

$$F_2(x, Q^2) = \sum_i A_i^{L,R}(Q^2) [x q_i(x, Q^2) + x \bar{q}_i(x, Q^2)]$$

$$xF_3(x, Q^2) = \sum_i B_i^{L,R}(Q^2) [x q_i(x, Q^2) - x \bar{q}_i(x, Q^2)]$$

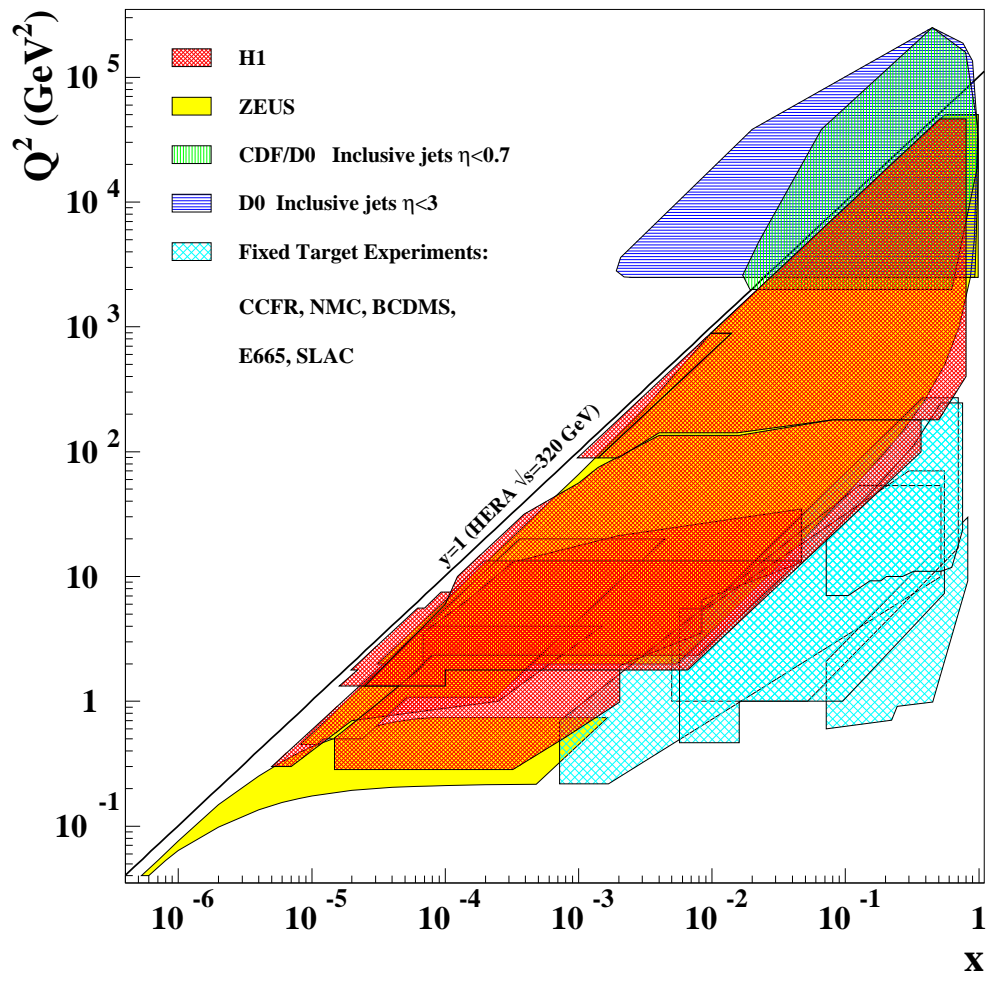
$$A_i^{L,R}(Q^2) = e_i^2 + 2e_i e_l (v_l \pm a_l) v_i P_Z + (v_l \pm a_l)^2 (v_i^2 + a_i^2) P_Z^2$$

$$B_i^{L,R}(Q^2) = \mp 2e_i e_l (v_l \pm a_l) a_i P_Z \pm 2(v_l \pm a_l)^2 v_i a_i P_Z^2$$

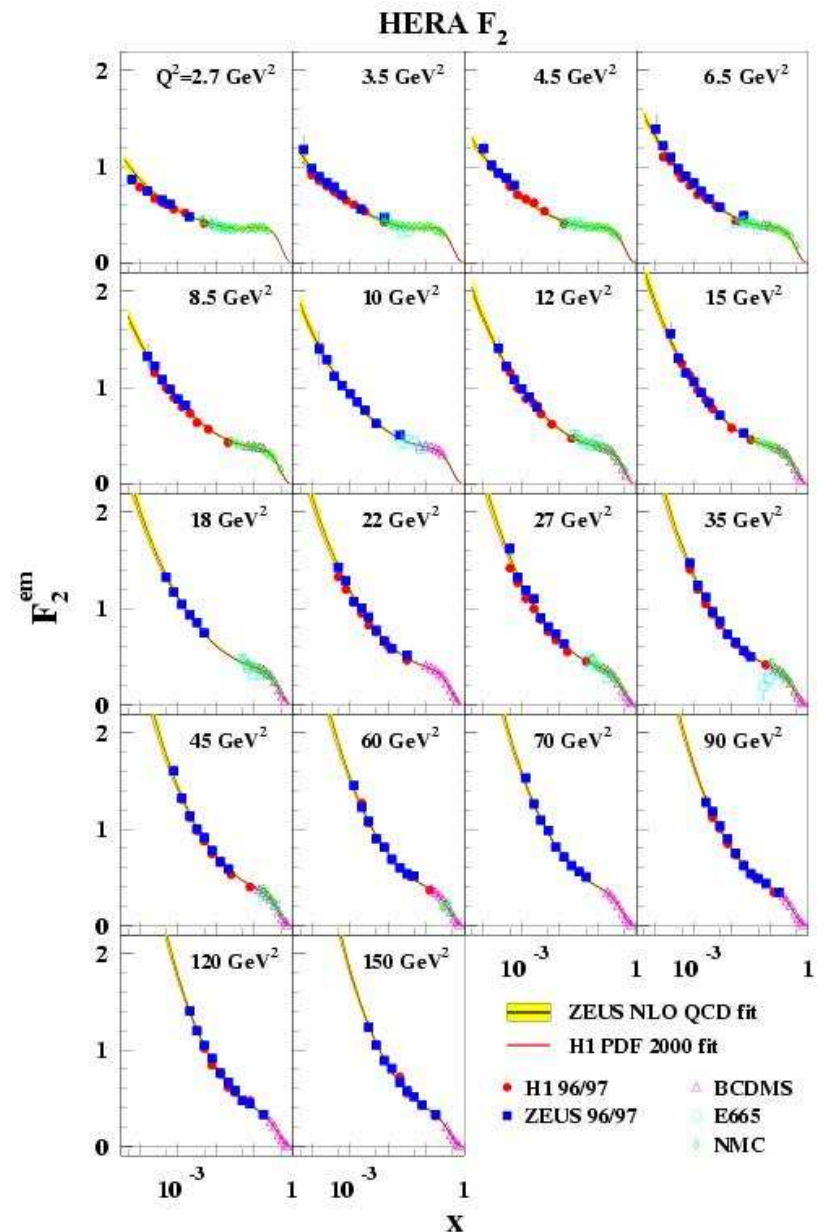
$$P_Z = \frac{Q^2}{Q^2 + M_Z^2} \frac{\sqrt{2} G_\mu M_Z^2}{4\pi\alpha}$$

Misura di F_2

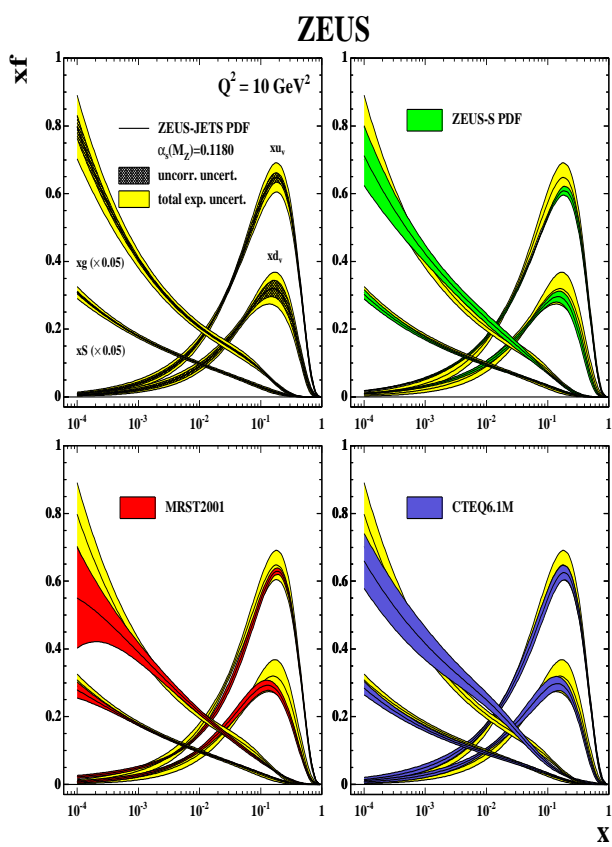
Regione cinematica coperta da HERA:



F_2 Vs. x (Q^2 fissato):

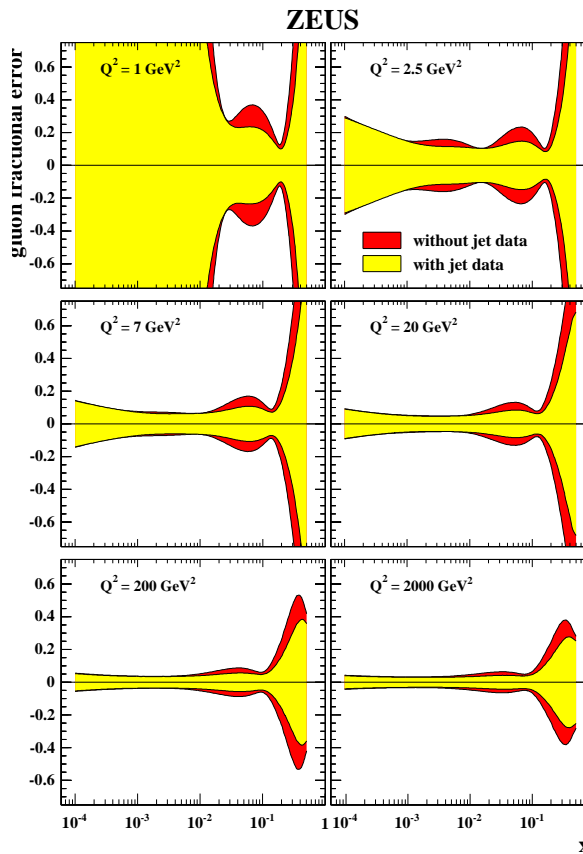


Confronto con MRST e CTEQ

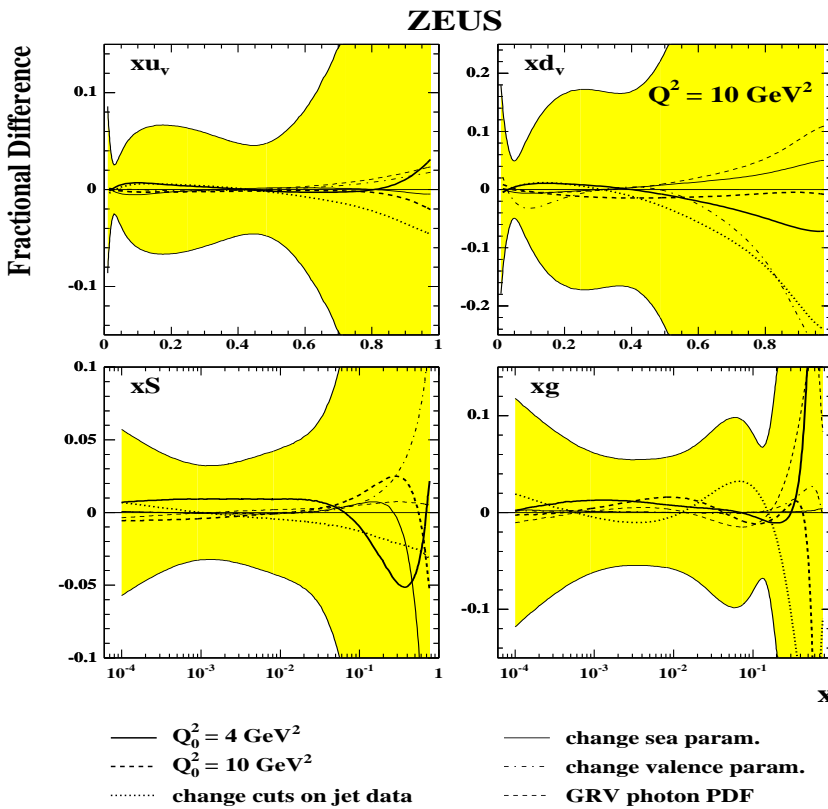


PDF del protone

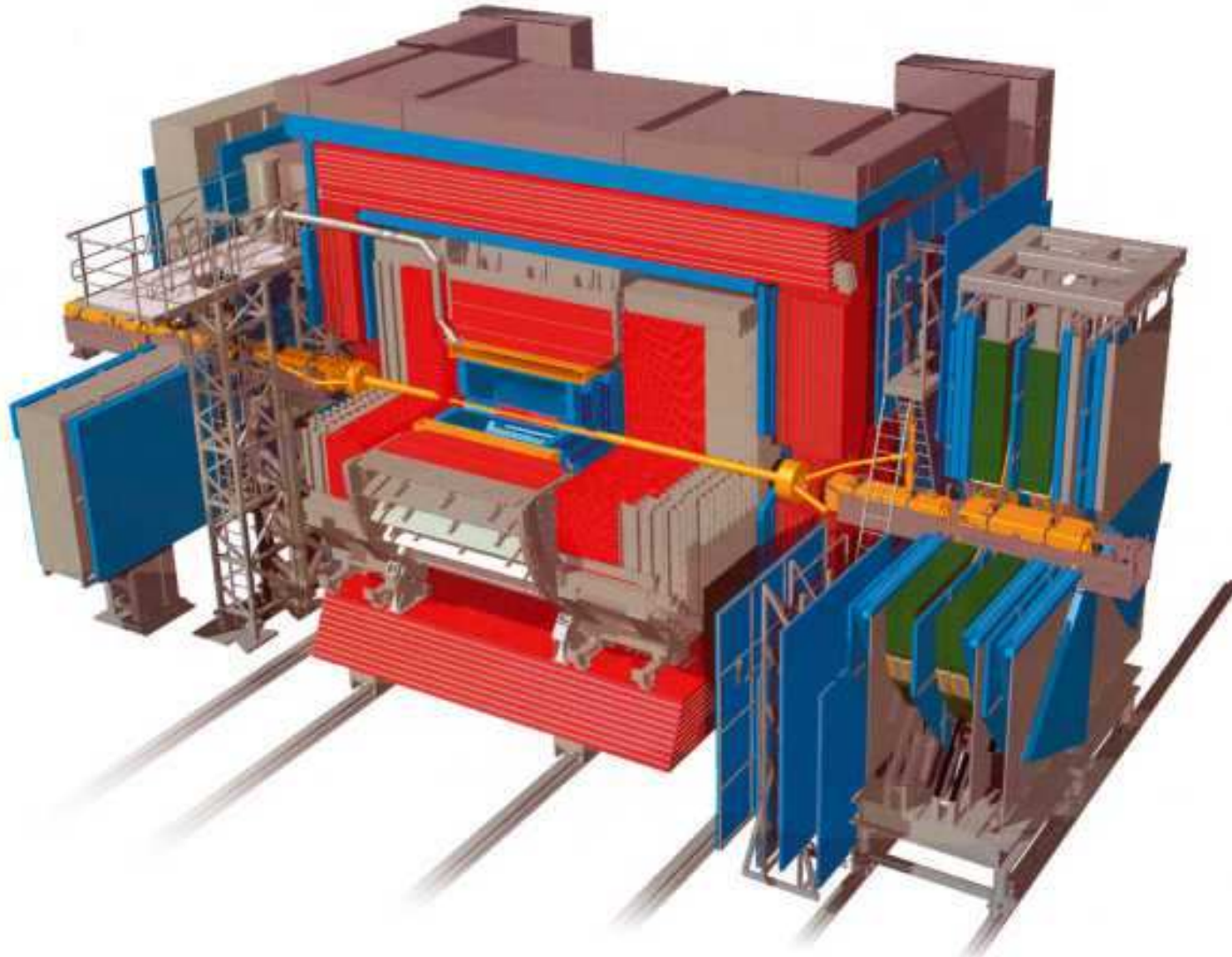
Incertezza PDF gluone



Incertezza PDF: $Q^2=10 \text{ GeV}^2$



Il rivelatore ZEUS



Il rivelatore H1

